軸方向鉄筋の座屈長からみたRC橋脚の塑性ヒンジ長算定式

復 建 調 査 設 計 正会員 浅津直樹建設省土木研究所 正会員 運上茂樹建設省土木研究所 正会員 星隈順一

1.はじめに 塑性ヒンジ理論によって鉄筋コンクリート(以下RC)橋脚の終局水平変位を正確に評価するためには、塑性ヒンジ長を合理的に設定することが必要である。しかしながら、塑性ヒンジ長は、断面高さ及びせん断支間比の他、軸方向鉄筋径や帯鉄筋等によって変化することが指摘されており、詳細については十分解明されていないのが現状である。本稿では軸方向鉄筋の座屈長と塑性ヒンジ長の関係に着目し、有限変位FEM解析によって算出した軸方向鉄筋の座屈長と既往の正負交番載荷実験から逆算した塑性ヒンジ長の相関関係について報告すると共に、座屈長からみた塑性ヒンジ長の算定式に関して提案を行う。

2.軸方向鉄筋の座屈解析 軸方向鉄筋の座屈長は有限変位理論による非線形 FEM解析によって算出した。解析モデルとしては、RC橋脚のうち最外縁の軸方向鉄筋が塑性化する柱基部のみを対象とし、軸方向鉄筋が帯鉄筋に拘束された状態を、図-1に示すようにバネ要素に支持された梁要素としてモデル化した。バネ要素のバネ定数 K(N/mm)は帯鉄筋及びかぶりコンクリートによって式(1)で与えられるものとした 1 。ただし、圧縮側についてはコアコンクリート壁面をモデル化した剛バネとした。

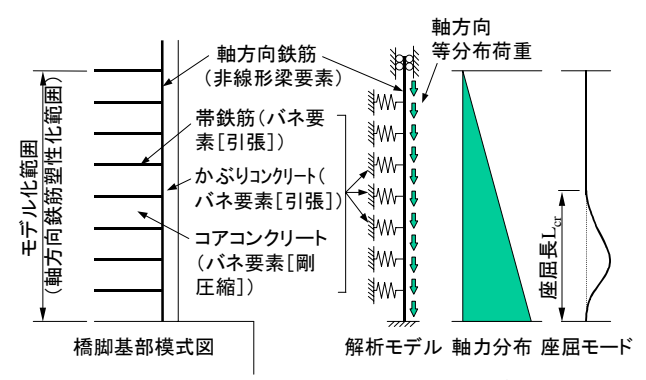


図-1 FEMによる座屈解析モデル

$$K = \frac{384E_o I_h}{nd^3} + k_o c_o s \quad (矩形断面) \qquad K = \frac{2E_o A_h \sin(\pi/n')}{d} \quad (円形断面)$$
 (1)

ここに、 E_o , I_h , A_h , d, s: 横拘束筋の弾性係数(N/mm²)、断面 2 次モ - メント(mm⁴)、断面積(mm²)、有効長(mm)、間隔(mm)、n: 横拘束有効長内に含まれる軸方向鉄筋本数、 k_o : 実験から逆解析したかぶりコンクリートのバネ算出係数で 0.01N/mm³、 c_o : 軸方向鉄筋の純かぶり(mm)、: n': 円形断面橋脚の全軸方向鉄筋本数

軸方向鉄筋圧縮時の応力 - ひずみ関係としては、引張時の塑性化によって生じるバウシンガー効果の影響を考慮し、加藤モデルにおけるバウシンガー部の軟化曲線を用いた。また、塑性化範囲における軸方向鉄筋の軸力の分布としては三角形分布を仮定し、この分布を再現するために梁要素に等分布の軸方向荷重を漸増載荷して座屈を発生させた。なお、座屈を誘起するために、梁要素には予め微小な曲率を与えた。

3.軸方向鉄筋の座屈長と塑性ヒンジ長の関係 軸方向鉄筋の座屈長と塑性ヒンジ長の関係について検討を行うために、既往の正負交番載荷実験供試体 (載荷高さh)の塑性ヒンジ長 L_p を式(2)から算出した。

$$\delta_{u} = \delta_{v} + (\phi_{u} - \phi_{v})L_{p}(h - L_{p}/2) + \delta_{\theta}$$
(2)

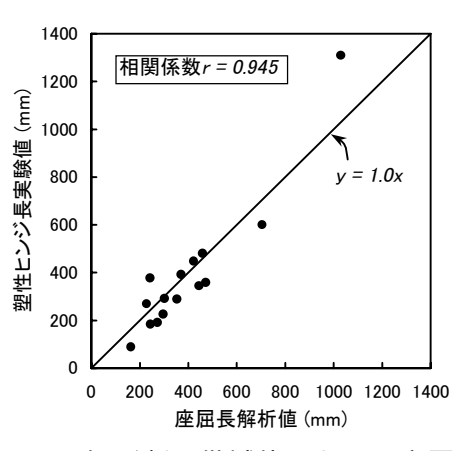
ここで、 "は平成8年の道路橋示方書 耐震設計編(以下、道示)の終局時の定義に相当するかぶりコンクリートが剥離し始める時に計測された載荷点の水平変位とし、このときに計測された軸方向鉄筋のフーチングからの伸び出し量より求めた水平変位を とした。また、 ", ", "は載荷点における降伏変位、終局曲率、降伏曲率であり、道示の方法による計算値を用いた。

図-2 は矩形断面供試体における座屈長解析値と塑性ヒンジ長の関係を示したものである。この図から、矩形断面の場合には座屈長と塑性ヒンジ長は概ね1:1に対応することがわかる。また、図-3 は円形断面供試

キーワード:鉄筋コンクリート橋脚、塑性ヒンジ長、軸方向鉄筋、座屈長、耐震設計

連絡先: 〒732-0052 広島市東区光町2丁目10番11号 TEL 082-506-1855 FAX 082-506-1897

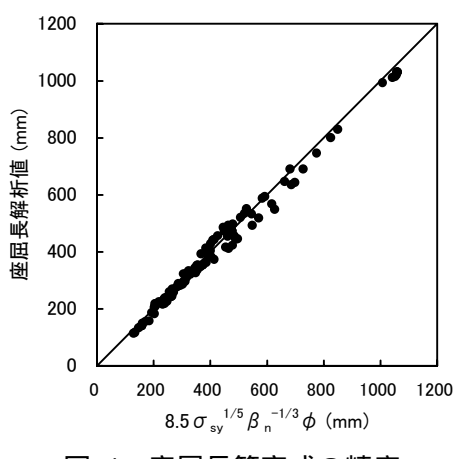
体(インターロッキング 方式の供試体を含む)に おける座屈長解析値と塑 性ヒンジ長の関係を示し たものである。ただし、 Stone らの供試体につい ては軸方向鉄筋のフーチ ングからの伸び出し量を 終局水平変位の20~30% と仮定して塑性ヒンジ長 を推定した。図をみると 円形断面の場合は矩形断 面と異なり、座屈長の3 ~ 5 倍程度が塑性ヒンジ 長に相当しているといえ る。この理由としては、 円形断面の柱は最外縁付 近の軸方向鉄筋が座屈し ても、その周辺の軸方向 鉄筋が圧縮応力を分担し ながらさらに変形するこ とが可能であり、最初に 座屈した軸方向鉄筋の周

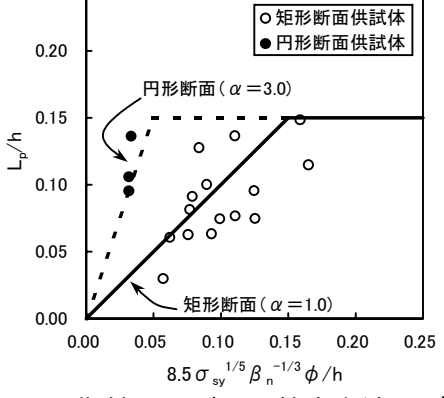


1400 Stoneらによる円形断面 1200 の実大実験 塑性ヒンジ長 塑性ヒンジ長実験値 (mm) 推定範囲 1000 800 600 y = 3.0x400 木研究所での円形及 200 びインターロッキング方式断面の実験 0 100 150 200 250 300 座屈長解析値 (mm)

図-2 矩形断面供試体における座屈長解析値と塑性ヒンジ長の関係

図-3 円形断面供試体における座屈長 解析値と塑性ヒンジ長の関係





0.25

図-4 座屈長算定式の精度

図-5 塑性ヒンジ長の算出方法及び提 案式と実験値の比較

辺では座屈部分以外でも柱の塑性化が進展していくためと考えられる。

4. 塑性ヒンジ長の算定式 以上より、軸方向鉄筋の座屈長をもとに塑性ヒンジ長を推定することが可能であると考えられる。本稿ではFEM解析によって軸方向鉄筋の座屈長を算出する方法を紹介したが、筆者らはこの座屈長の簡易算定式として式(3)を提案している $^{1)}$ 。図-4 は式(3)で算定した座屈長とFEMによる解析値を比較したものであり、式(3)は十分な精度を有していることがわかる。そこで本研究では式(3)に基づき、式(4)によって塑性ヒンジ長を算定するものとした。ただし、軸方向鉄筋の座屈長はその鉄筋の塑性化範囲よりも長くならないことを考慮し、様々なケースに対して鉄筋の塑性化範囲の長さを試算した結果 $^{2)}$ に基づいて、柱高さ h(mm)の 15% を塑性ヒンジ長の上限値とした。

$$L_{cr} = 8.5 \,\sigma_{sv}^{1/5} \,\beta_n^{-1/3} \,\phi \quad , \qquad \beta_n = K/s \tag{3}$$

$$L_{p} = \alpha L_{cr} = 8.5 \,\alpha \,\sigma_{sv}^{-1/5} \,\beta_{n}^{-1/3} \,\phi \qquad \text{tet} \, \cup \, , L_{p} \quad 0.15h \tag{4}$$

ここに、 L_{cr} : 座屈長(mm) $_{sy}$: 軸方向鉄筋の降伏点(N/mm 2)、 $_n$: 等分布バネ定数(N/mm 2)、 :軸方向鉄筋径(mm)、 L_p : 塑性ヒンジ長(mm)、 :断面形状による補正係数で、矩形断面で 1.0、円形断面で 3.0

図-5 は式(4)による塑性ヒンジ長をまとめたものであり、参考のために図中には既往供試体に対して式(4)で算出した塑性ヒンジ長と3.で算出した実験による塑性ヒンジ長の関係をプロットした。

5. おわりに 本稿では軸方向鉄筋の座屈長と塑性ヒンジ長の関係について検討を行い、この結果に基づいて塑性ヒンジ長の算定式に関する提案を行った。この算定式によれば、R C 橋脚の終局水平変位をより精度良く推定することが可能であると考えられる。

【参考文献】1)浅津直樹、運上茂樹ほか:鉄筋コンクリート橋脚における軸方向鉄筋の座屈長算定式、コンクリート工学年次論文集、Vol.22、2000.6(投稿中) 2)浅津直樹、運上茂樹ほか:鉄筋コンクリート橋脚における塑性ヒンジ領域の検討、土木学会第54回年次学術講演会講演概要集 -B、pp.356-357、1999.9